

大阪大学工学部

菊田米男 菅木秀雄

○黒田敏雄 順田一郎

I 緒言

本報告は、Implant 滞存割れ試験による遅れ破壊における各種鋼材の異方性および、非金属介在物の影響について検討を行なつたものである。

II 実験方法

本実験に用いた鋼材は SM50 鋼および Sulfur level を変化させた 80 千牛級高張力鋼である。鋼材の異方性を考慮して、鋼板から、X 方向試片および Z 方向試片を採取した。遅れ破壊試験は、Implant 滞存割れ試験にて行なつた。なお、水素量の調整は、溶接棒の乾燥条件を変えることにより行なつた。

得られた破面は走査電顕により観察し、非金属介在物の分析には EPMA により行なつた。

III 実験結果および検討

(1) HT80鋼といずれの鋼材とも MnS 介在物が鋼中に含まれていた。S量 0.023% の HT80A 鋼と S量 0.004% の HT80B 鋼を比較すると、図1に示すごとく X 方向試片では S量を減少させることによつても遅れ破壊曲線に差異は生じない。Z 方向試片の場合は S量の減少によつて遅れ破壊を生じない下部限界応力は上昇する。つまり MnS を減らすこととは Z 方向試片の場合、構成的性質に影響はないだけでなく、遅れ破壊に対する影響もある。(図2)

(2) SM50鋼では Al₂S 介在物が主に含まれており、水素を含まない試片では X 方向試片、Z 方向試片の構成的性質はほぼ同じであった。その場合の遅れ破壊曲線には図3のごとく異方性はほとんど認められない。

(3) HT80鋼の Z 方向試片の水素を含まない場合の破面は、S量が多いと MnS 介在物が層状に並んだ terrace 部および terrace 間で shear dimple が発生している wall 部が明瞭に認められるが、S量が少ない場合、それらはほとんど認められず、SM50 鋼も介在物が少ないので、それらはほとんど認められない。つまり terrace 長さが構成的性質に影響をおぼげます。

(4) SM50 鋼および HT80A 鋼、B 鋼ともに溶接遅れ破壊破面は負荷応力によって変化したが、とりわけ Z 方向試片の場合、上部限界応力近傍の遅れ破壊破面では dimple が「ひび」非金属介在物と起美とした破面が支配的であるが、下部限界応力近傍の遅れ破壊破面では、非金属介在物の形態、量に関係なく、水素擴へき離破壊(CE)および粒界破壊が支配的であり、破面上に非金属介在物はほとんど認められない。

(5) したがつて非金属介在物が割れの核にならなければ遅れ破壊における高負荷応力の場合であり、低負荷応力では非金属介在物はその周辺の組織への水素の集積と助長する働きをしていると思われる。

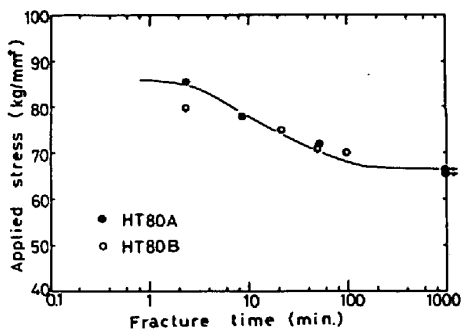


図1 HT80鋼のX方向試片における遅れ破壊曲線

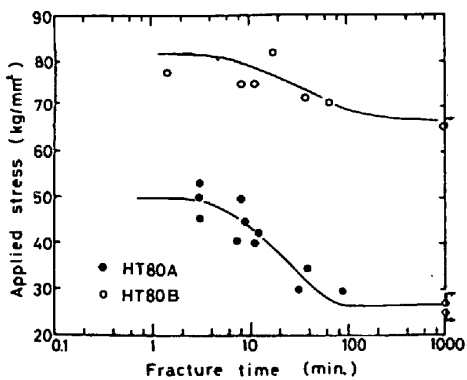


図2 HT80鋼のZ方向試片における遅れ破壊曲線

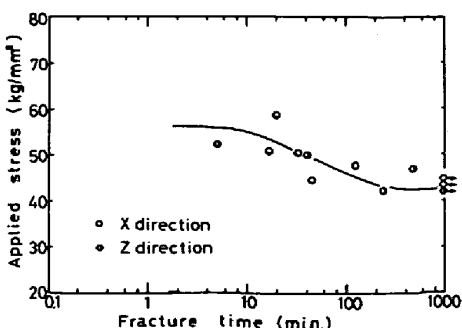


図3 SM50鋼の遅れ破壊曲線